



Kierunek studiów: Geoinformacja

Nr albumu: 444861

**Błażej Kościański**

**Zmiany pokrycia terenu dla obszaru Polski:  
1990-2018**

*Analysis of land cover changes in Poland between 1990  
and 2018*

Praca inżynierska napisana  
w Instytucie Geoekologii i Geoinformacji  
pod kierunkiem  
dr. Jakuba Nowosada

Poznań, 2022



---

Poznań, dnia .....

## OŚWIADCZENIE

Ja, niżej podpisany/a student/ka Uniwersytetu im. Adama Mickiewicza w Poznaniu oświadczam, że przedkładaną pracę dyplomową napisałem/napisałam samodzielnie. Oznacza to, że przy pisaniu pracy, poza niezbędnymi konsultacjami, nie korzystałem/am z pomocy innych osób, a w szczególności nie zlecałem/am opracowania rozprawy lub jej części innym osobom, ani nie odpisywałem/am tej rozprawy lub jej części od innych osób.

Oświadczam również, że egzemplarz pracy dyplomowej w wersji drukowanej jest całkowicie zgodny z egzemplarzem pracy dyplomowej w wersji elektronicznej.

Jednocześnie przyjmuję do wiadomości, że przypisanie sobie, w pracy dyplomowej, autorstwa istotnego fragmentu lub innych elementów cudzego utworu lub ustalenia naukowego stanowi podstawę stwierdzenia nieważności postępowania administracyjnego w sprawie nadania tytułu zawodowego.

[    ]\* - wyrażam zgodę na udostępnianie mojej pracy w czytelni Archiwum UAM

[    ]\* - wyrażam zgodę na udostępnianie mojej pracy w zakresie koniecznym do ochrony mojego prawa do autorstwa lub praw osób trzecich

\*Należy wpisać TAK w przypadku wyrażenia zgody na udostępnianie pracy w czytelni Archiwum UAM, NIE w przypadku braku zgody. Niewypełnienie pola oznacza brak zgody na udostępnianie pracy.

.....

(czytelny podpis studenta)

---

## **Streszczenie**

Słowa kluczowe: struktura przestrzenna, pokrycie terenu, CORINE Land Cover, CLC

## **Abstract**

Keywords: spatial patterns, land cover, CORINE Land Cover, CLC

# Spis treści

Streszczenie . . . . .	4
Abstract . . . . .	4
<b>1 Wprowadzenie</b>	<b>7</b>
<b>2 Przegląd literatury</b>	<b>9</b>
2.1 Porównanie danych CLC z danymi ESA CCI LC . . . . .	9
<b>3 Materiały</b>	<b>11</b>
3.1 Obszar badań . . . . .	11
3.2 Dane CORINE Land Cover . . . . .	11
3.3 Dane dodatkowe . . . . .	13
<b>4 Metody</b>	<b>15</b>
4.1 Reklasyfikacja danych CLC . . . . .	15
4.2 Wykorzystane oprogramowanie . . . . .	17
4.3 Przygotowanie danych do analizy struktury przestrzennej <b>może jakaś inna nazwa?</b> . . . . .	20
<b>5 Wyniki</b>	<b>25</b>
5.1 Analiza zmian na poziomie krajowym . . . . .	25
5.2 Analiza zmian regularnych obszarów 10 na 10 km . . . . .	27
5.3 Analiza zmian na poziomie powiatów . . . . .	29
5.4 Analiza zmian na poziomie mezoregionów . . . . .	29
<b>6 Podsumowanie</b>	<b>31</b>
<b>Bibliografia</b>	<b>33</b>



# Rozdział 1

## Wprowadzenie

Pokrycie terenu oznacza “znajdujące się na powierzchni Ziemi przedmioty terenowe powstałe w wyniku działalności sił przyrody lub całkowicie wytworzone przez działalność gospodarczą człowieka. W zakres wchodzi między innymi rzeźba terenu, zjawiska hydrograficzne, kompleksy roślinne, osiedla, drogi, formy antropogeniczne (Olędzki, 1987)

Co to monitorowanie tego pokrycia i po co?

Monitorowanie zmian pokrycia terenu jest ważne ze względu na ich wpływ na środowisko i klimat. Zmiany pokrycia terenu są skutkiem zmieniającego się klimatu i antropopresji. Zmiany te także same bezpośrednio wpływają na zmiany klimatu i warunki środowiskowe oraz mają ścisły związek z migracją ludności i warunkami gospodarczymi.

Dlatego też ocena zmian pokrycia terenu ma pierwszorzędne znaczenie dla skutecznego planowania i zarządzania zasobami.

Głównym celem tej pracy jest analiza głównych prawidłowości dotyczących zmian struktury przestrzennej pokrycia terenu dla obszaru Polski. Dodatkowym celem było stworzenie mapy trendów zmian zaszłych w przeciągu 18 lat dynamicznego rozwoju oraz ulepszenie istniejącego oprogramowania do analiz lokalnych krajobrazów (no czy to ulepszenie mi się udało to do końca nie jestem pewien lol)





## Rozdział 2

# Przegląd literatury

### 2.1 Porównanie danych CLC z danymi ESA CCI LC

CLC - rozdzielczość 100m ESA CCI LC - rozdzielczość 300m

##Inne analizy

W przeszłości wykonana została podobna analiza zmian pokrycia terenu dla obszaru Polski, przeprowadzona dla lat 1990-2012. W przeciwieństwie do wspomnianej pracy, w tej pracy nie zostały wykorzystane bazy danych zmian pokrycia terenu między produktami programu CORINE. Zamiast tego, zmiany pokrycia terenu zostały obliczone za pomocą obliczenia różnic w komórkach analizowanych rastrów. Dodatkowo, w tej pracy przyjęto rozszerzone podejście do analizy zmian przestrzennych. Poza ogólnymi zmianami ilościowymi, obliczonymi dla całego analizowanego obszaru, w pracy uwzględniono także analizy struktur przestrzennych w oparciu o obliczenia sygnatur przestrzennych dla mniejszych obszarów wydzielonych z obszaru badań.



## Rozdział 3

# Materiały

### 3.1 Obszar badań

Obszar badań obejmuje terytorium Polski, włącznie z obszarem morskich wód wewnętrznych i morzem terytorialnym.

### 3.2 Dane CORINE Land Cover

Do analizy wykorzystane zostały zbiory danych przestrzennych o pokryciu terenu - CORINE Land Cover (CLC). Program CORINE (Coordination of Information on Environment) został przyjęty w 1985 roku przez Komisję Europejską. Jego celami było:

- zgromadzenie informacji o stanie środowiska geograficznego w zakresie priorytetowych tematów dla wszystkich krajów Wspólnoty,
- skoordynowanie wysiłków w zakresie gromadzenia danych i organizacji informacji na szczeblu krajów członkowskich i na szczeblu międzynarodowym,
- zagwarantowanie spójności informacji i zapewnienie kompatybilności danych

(źródło: <https://clc.gios.gov.pl>).

W większości państw CLC jest tworzony poprzez wizualną interpretację obrazów satelitarnych o wysokiej rozdzielczości. W kilku państwach stosuje się różne rozwiązania półautomatyczne, wykorzystujące między innymi przetwarzanie obrazów satelitarnych,

GIS i generalizację danych. Minimalna mapowana jednostka dla CLC wynosi 25 hektarów dla obiektów przestrzennych i 100 metrów dla obiektów liniowych. Dodatkowo, wraz z każdym kolejnym produktem CLC powstaje także baza danych zmian między nowymi danymi, a ostatnio powstała baza, dla której stosuje się minimalną mapowaną jednostkę wynoszącą 5 hektarów.

Efekty programu CORINE udostępniane są w formacie rastrowym GeoTiff o rozdzielczości przestrzennej 100 metrów (oznacza to, że jeden piksel rastra obejmuje 1 hektar powierzchni) oraz formatach wektorowych ESRI i SQLite geodatabase. Układy współrzędnych, w jakich udostępniane są wyniki projektu CORINE zależne są od organu je rozpowszechniającego. Przykładowo, dane obejmujące obszar całej Europy, pozyskane z witryny Copernicus Land Monitoring Service (<https://land.copernicus.eu/pan-european/corine-land-cover>) wykorzystują układ współrzędnych ETRS-LAEA (EPSG:3035), natomiast dane udostępniane przez Główny Inspektorat Ochrony Środowiska (<https://clc.gios.gov.pl/>), uwzględniające wyłącznie dane dla terytorium Polski, wykorzystują Państwowy Układ Współrzędnych Geodezyjnych 1992 (EPSG:2180)

Dane inwentaryzacyjne CORINE Land Cover dostępne dla lat 1990, 2000, 2006, 2012 i 2018, zorganizowane są hierarchicznie w trzech poziomach szczegółowości. Na pierwszym poziomie wyszczególniono pięć głównych typów pokrycia globu ziemskiego: tereny antropogeniczne, tereny rolne, lasy i ekosystemy seminaturalne, obszary podmokłe oraz obszary wodne. Drugi poziom obejmuje 15 form pokrycia terenu, które można przedstawić na mapach w skalach od 1:500 000 do 1:1 000 000. Dla trzeciego poziomu danych CLC wyróżnione zostały 44 klasy pokrycia terenu, obejmujące wszystkie formy pokrycia terenu występujące na kontynencie europejskim.

Do celów tej pracy, użyte zostały dane rastrowe, obejmujące obszar całej Europy, dla lat 1990 i 2018, udostępnione do pobrania na witrynie Copernicus Land Monitoring Service (<https://land.copernicus.eu/pan-european/corine-land-cover>).

### 3.3 Dane dodatkowe

W pracy wykorzystane zostały także dane wektorowe dotyczące oficjalnego podziału terytorialnego Polski pozyskane z Państwowego Rejestru Granic (PRG) udostępnionym na Geoportalu (<https://www.geoportal.gov.pl/dane/panstwowy-rejestr-granic>) oraz dane wektorowe z obszarami mezoregionów, pobrane z witryny Geoserwis (<http://geoserwis.gdos.gov.pl/mapy/>), prowadzonej przez Generalną Dyрекcyję Ochrony Środowiska. Wykorzystany podział na mezoregiony jest efektem doprecyzowania i uszczegółowienia granic regionów fizyczno-geograficznych z uwzględnieniem metodyki proponowanej w ostatnim podziale fizyczno-geograficznym Kondrackiego (1998, 2000).



## Rozdział 4

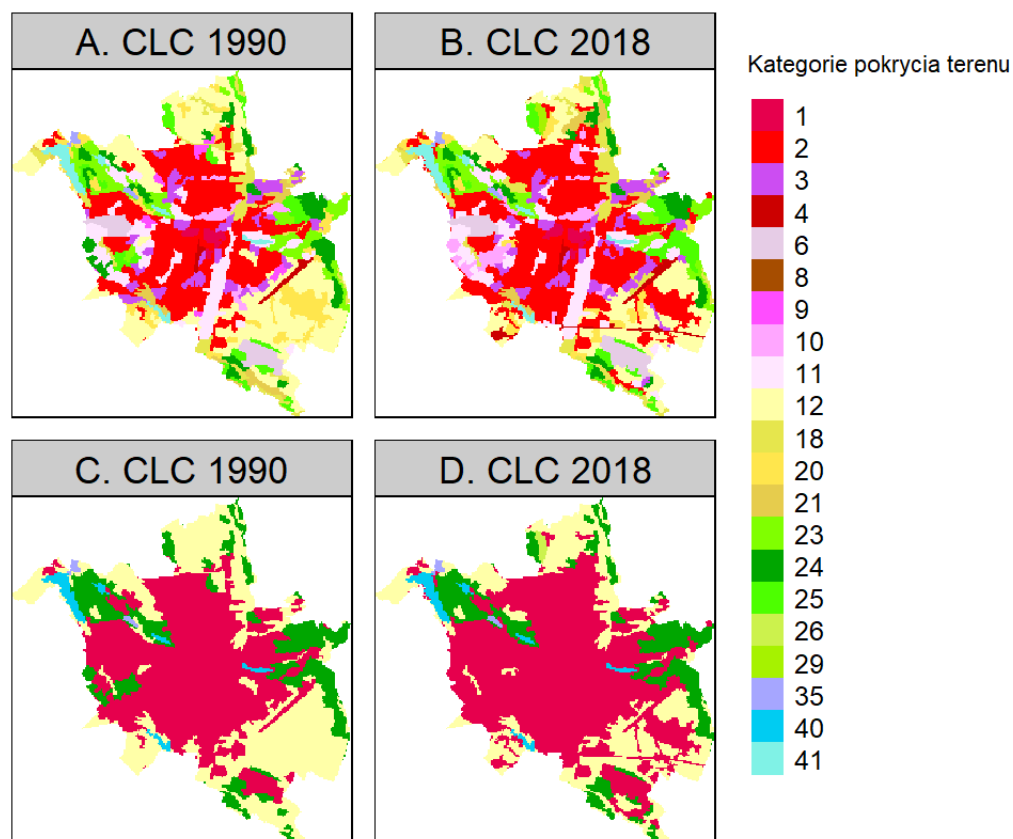
# Metody

### 4.1 Reklasyfikacja danych CLC

W celu ułatwienia interpretacji wyników, klasy CLC zostały poddane reklasyfikacji. Reklasyfikacja to proces ponownego przypisania jednej lub więcej wartości w zestawie danych rastrowych do nowych wartości wyjściowych. Dane o pokryciu terenu w programie CORINE udostępniane są na najniższym, trzecim poziomie podziału kategorii. Wykorzystanie wszystkich klas pokrycia terenu występujących na obszarze Polski doprowadziłoby do nadmiaru informacji i tym samym zwiększenia trudności interpretacji wyników. Rycina 4.1 przedstawia przykład wpływu reklasyfikacji na ilość kategorii pokrycia terenu występujących na obszarze miasta Poznań. Aby uniknąć powyższej sytuacji, klasy zostały zgrupowane do oryginalnego podziału dla pierwszego poziomu CLC, z wyjątkiem lasów i ekosystemów naturalnych, gdzie zastosowano podział dla poziomu drugiego.

W wyniku reklasyfikacji ilość klas pokrycia terenu została zmniejszona z 33 klas poziomu trzeciego występujących na obszarze Polski do 7. Otrzymano następujące kategorie pokrycia terenu:

- tereny antropogeniczne,
- tereny rolne,
- lasy,



**Rysunek 4.1:** Porównanie danych CLC dla obszaru miasta Poznań przed i po reklasyfikacji

- tereny krzewiaste,
- tereny z rzadszą roślinnością,
- obszary podmokłe,
- obszary wodne.

**wkleić raster contingency table w formie macierzy bez opisów klas tylko z samymi cyframi**



## 4.2 Wykorzystane oprogramowanie

Wszystkie obliczenia i ryciny zostały przygotowane za pomocą języka *R* (R Core Team, 2020). Najważniejszym pakietem tego języka, który umożliwił przeprowadzenie analizy zmian struktur przestrzennych, był pakiet *motif* (Nowosad, 2021). Pakiet ten umożliwia przekształcenie kategoriycznych danych rastrowych, niosących wyłącznie informacje o pojedynczych komórkach, w sygnatury przestrzenne, będące statystycznym opisem pewnych struktur przestrzennych występujących wewnątrz rastra. Jedną z najbardziej podstawowych sygnatur przestrzennych jest kompozycja. Stanowi ona podsumowanie ilości komórek danej kategorii występujących na analizowanym obszarze. Obok kompozycji wyróżnia się także konfigurację, która stanowi opis ilości komórek danych kategorii występujących w sąsiedztwie komórek innych kategorii.

Wyróżnia się także metody opisu struktur przestrzennych będące połączeniem wcześniej wspomnianych sygnatur. Jedną z takich metod jest między innymi macierz współwystępowania, którą tworzy się poprzez zliczenie wszystkich par sąsiadujących ze sobą komórek. W wyniku otrzymywana jest macierz o wymiarach  $k$  na  $k$ , gdzie  $k$  jest równe liczbie klas występujących w rastrze kategoriycznym. Wewnątrz macierzy współwystępowania, wartości przekątne związane są z kompozycją rastra, natomiast wartości pionowe i poziome - z jego konfiguracją. Sygnaturą wykorzystaną do obliczeń w tej pracy był histogram współwystępowania, będący przekształceniem macierzy współwystępowania do postaci jednowymiarowej.

Wizualizacje danych przestrzennych stworzone zostały z wykorzystaniem pakietu *tmap* (Tennekes, 2021), natomiast do wizualizacji danych ilościowych wykorzystany został pakiet *ggplot2* (Wickham i in., 2021).

### 4.2.1 Pakiet Motif

Pakiet *motif* jest narzędziem o otwartym kodzie źródłowym, umożliwiającym analizy struktur przestrzennych dla dowolnych kategoriycznych danych rastrowych za pomocą sygnatur przestrzennych. Sygnatury można obliczyć zarówno dla obszarów regularnych,

takich jak siatka jednakowych kwadratów, jak i obszarów nieregularnych, jak np. jednostki podziału administracyjnego. Funkcje wewnątrz pakietu pozwalają na obliczenie siedmiu różnych sygnatur przestrzennych, takich jak:

- kompozycja,
- macierz współwystępowania,
- histogram współwystępowania,
- ważona macierz współwystępowania,
- ważony histogram współwystępowania,
- zintegrowana macierz współwystępowania,
- zintegrowany histogram współwystępowania.

Dodatkowo motyw umożliwia użytkownikom na stworzenie własnych sygnatur przestrzennych poprzez wykorzystanie funkcji zdefiniowanych wcześniej przez użytkowników wewnątrz funkcji pakietu. Pakiet zawiera także narzędzia umożliwiające wykonanie analiz przestrzennych, takich jak wyszukiwanie struktur przestrzennych, wykrywanie ich zmian oraz grupowanie obszarów o podobnej strukturze przestrzennej.

Poniżej, przedstawiony został przykład zastosowania pakietu *motif* w celu obliczenia macierzy współwystępowania ("coma"). W pakiecie *motif* do obliczania sygnatur przestrzennych służy funkcja *lsp\_singature()*. Jako pierwszy argument funkcja przyjmuje obszar badań w postaci rastra kategoriowego. W argumencie *type* należy określić rodzaj sygnatury przestrzennej, którą chcemy obliczyć. Argument *window* określa rozmiar kwadratów, wewnątrz których obliczana będzie sygnatura. Poniżej przedstawiona została funkcja umożliwiająca obliczenie macierzy współwystępowania ("coma"). Jako obszar badań podane zostały dane CLC dla całej Polski z roku 1990, natomiast oczekiwany rozmiar okien, wewnątrz których wykonywane będą obliczenia ustawiony został jako 100 komórek rastra.

```
library(motif)
library(stars)
#> Loading required package: abind
```

```
#> Loading required package: sf
#> Linking to GEOS 3.9.0, GDAL 3.2.1, PROJ 7.2.1

land_cover = read_stars("data/clc_poland.tif")
coma = lsp_signature(land_cover,
                     type = "coma",
                     window = 100)

coma
#> # A tibble: 3,337 x 3
#>       id na_prop signature
#>   * <int>   <dbl> <list>
#> 1     24  0.562 <int [7 x 7]>
#> 2     25  0.302 <int [7 x 7]>
#> 3     26  0.168 <int [7 x 7]>
#> 4     27  0.0464 <int [7 x 7]>
#> 5     28  0.0978 <int [7 x 7]>
#> 6     29  0.550 <int [7 x 7]>
#> 7     94  0.648 <int [7 x 7]>
#> 8     95  0.355 <int [7 x 7]>
#> 9     96  0.0316 <int [7 x 7]>
#> 10    97  0      <int [7 x 7]>
#> # ... with 3,327 more rows
```

W wyniku obliczeń otrzymany został obiekt klasy *lsp* zawierający trzy kolumny:

- *id* - unikatowy identyfikator każdego obszaru
- *na\_prop* - udział komórek NA w danym obszarze
- *signature* - sygnatura obliczona dla danego obszaru

Sygnaturę przestrzenną wybranego obszaru można obejrzeć poprzez wydzielenie jej z kolumny *signature*:

```

coma$signature[[24]]
#>   1    2    3 4    5 6    7
#> 1 28   26    0 0    0 0    0
#> 2 26 3814   270 0    0 0    0
#> 3  0   270 10368 0 211 3    2
#> 4  0    0    0 0    0 0    0
#> 5  0    0   211 0 528 0   125
#> 6  0    0    3 0    0 0    0
#> 7  0    0    2 0 125 0 23588

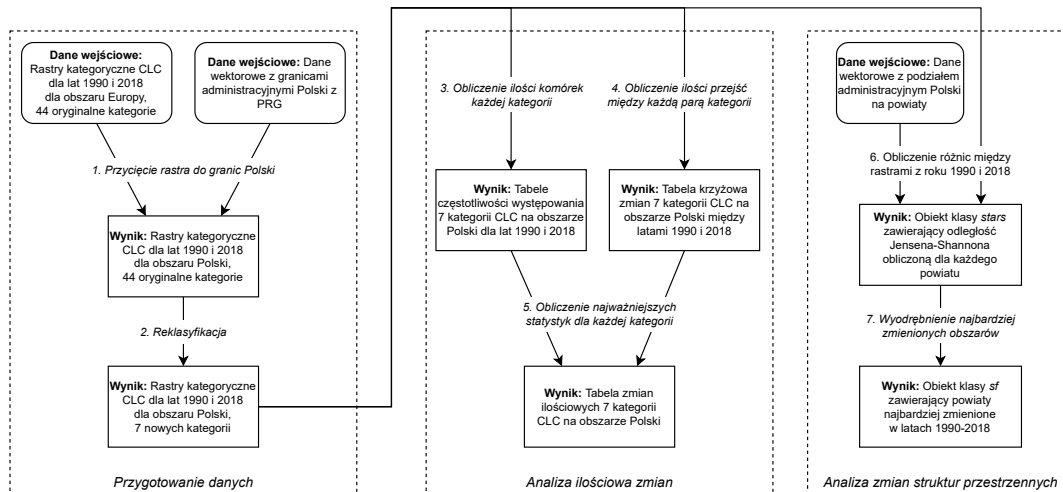
```

### 4.3 Przygotowanie danych do analizy struktury przestrzennej może jakaś inna nazwa?

Rycina 4.2 przedstawia poszczególne kroki wykonane w celu pozyskania wyników umożliwiających dalszą analizę struktur przestrzennych na wyodrębnionych obszarach. Podany przykład jest wyłącznie uproszczeniem czynności wykonanych w rzeczywistości, ponieważ w sekcji “Analiza zmian pokrycia terenu” zawarty został wyłącznie proces pozyskania danych wyjściowych do analizy struktur przestrzennych na poziomie powiatów.

Wszystkie dane wykorzystane do przygotowania analizy zostały szczegółowo omówione w rozdziale 3. Ze względu na to, że pobrane dane rastrowe CLC obejmują obszar większy niż obszar analizowany w tej pracy, pierwszym krokiem przygotowania danych było przycięcie danych rastrowych do granic Polski.

Następnie, otrzymane rastry zostały poddane reklasyfikacji. Proces ten został dokładniej opisany w sekcji 4.1. Dane CLC oryginalnie udostępniane są na trzecim poziomie podziału kategorii pokrycia terenu. Oznacza to, że dane CLC dla wybranego regionu w Europie mogą zawierać aż 44 różne kategorie pokrycia terenu. W celu uniknięcia nadmiaru informacji powstałej przy próbie porównania zmian między taką ilością kategorii, dane zostały zreklasifikowane do 7 kategorii. Przykład wpływu reklasyfikacji na ilość zawartych informacji na przykładzie obszaru miasta Poznań ilustruje rycina 4.1.



**Rysunek 4.2:** Czynności wykonane w celu otrzymania wyników umożliwiających analizę struktury przestrzennej obszarów powiatów.

W wyniku przygotowania danych, otrzymane zostały rastry kategoriacyjne CLC dla lat 1990 i 2018 zawierające informacje o 7 głównych kategoriach pokrycia terenu, przycięte do obszaru Polski.

Kolejny etap polegał na wykonaniu ilościowej analizy zmian pokrycia terenu dla całego analizowanego obszaru. W pierwszej kolejności (krok 3 na diagramie) obliczona została tabela częstotliwości występowania zreklasyfikowanych kategorii CLC w poszczególnych latach. Tabela ta zawiera informacje o ilości komórek danej kategorii występujących na rastrze dla danego roku. Następnie, obliczona została tabela krzyżowa (**użyć tego czy “tablica kontyngencji” - contingency table?**) zmian zreklasyfikowanych kategorii między analizowanymi latami. Otrzymana tabela krzyżowa zawiera dane o wszystkich zmianach pokrycia terenu zaszłych między każdą możliwą parą kategorii pokrycia terenu. Ostatecznie, stworzona została tabela 5.1 zawierająca podstawowe statystyki podsumowujące zmiany zaszłe na obszarze Polski w podziale na zreklasyfikowane kategorie pokrycia terenu. Obliczone statystyki to między innymi: suma powierzchni dla lat 1990 i 2018, bilans zmian między latami, ubytki i przyrosty powierzchni w analizowanym czasie oraz procentowa zmiana stanu danej kategorii. Podział na bilans zmian, ubytki oraz przyrosty wywodzi się z tego, że bilans zmian stanowi wyłącznie różnicę względną między stanem z roku 1990 a tym z roku 2018. Oznacza to, że gdy w teoretycznej sytuacji dwie komórki rastra, o różnych kategoriach,

zmieniają swoje kategorie na kategorię drugiej komórki - bilans zmian pozostaje zerowy. Statystyka ta nie ukazuje zmian, które zaszły w komórkach, ze względu na to, że ilość komórek tych kategorii pozostała bez zmian. Aby uwzględnić takie zmiany, obliczono także różnicę względną między stanami z analizowanych lat w postaci ilości ubytków i przyrostów każdej kategorii. Ubytki danej kategorii stanowią ilość komórek, które w roku 1990 należały do tej kategorii, natomiast w roku 2018 zmieniły swoją kategorię na dowolną inną. Przyrosty danej kategorii oznaczają ilość komórek, które w roku 1990 należały do pozostałych kategorii, a w roku 2018 zmieniły swoją kategorię na tą jedną. Zmiana między latami została obliczona jako stosunek stanu powierzchni z roku 2018 do stanu z roku 1990. Zmiana +50% oznacza, że powierzchnia z roku 2018 stanowi 150% powierzchni z roku 1990. Analogicznie zmiana -50% oznacza, że powierzchnia z roku 2018 stanowi 50% powierzchni z roku 1990. Celem trzeciego etapu było pozyskanie obliczonych różnic w stanie struktur przestrzennych różnych jednostek przestrzennych. W celu trafnego stwierdzenia prawidłowości dotyczących zmian struktury przestrzennej, dane zostały przeanalizowane na trzech poziomach:

- poprzez wydobycie wartości dla kwadratów o wymiarach 100 na 100 pikseli,
- na poziomie powiatowym
- na poziomie mezoregionów.

Pojedynczy obszar powstały poprzez wyodrębnienie kwadratów o wymiarach 100 na 100 pikseli obejmuje powierzchnię 100 km<sup>2</sup>. Do ilościowej oceny wielkości zmian każdej jednostki wykorzystuje się miary niepodobieństwa (**odmienności?**). W tej pracy, do określenia stopnia zmian wykorzystano odległość Jensena-Shannona obliczoną dla każdej jednostki przestrzennej. Miara ta przyjmuje wartości od 0 do 1. Wartość 0 oznacza, że na danym obszarze między badanymi okresami nie zaszły żadne zmiany, natomiast wartość 1 oznacza brak podobieństw między analizowanymi obszarami, czyli całkowitą zmianę pokrycia terenu. **nie wiem co jeszcze mógłbym tu dopisać, ale zdecydowanie czegoś brakuje**

Ostatnim krokiem etapu oceny zmian struktur przestrzennych było znalezienie obszarów, które w latach 1990-2018 zmieniły się najbardziej. Aby poprawnie przeanalizować trendy zmian pokrycia terenu wśród tych obszarów, wyodrębniono po 6 najbardziej zmienionych obszarów z każdego rodzaju wykorzystanych jednostek przestrzennych (kwadraty 10 na 10km, powiaty, mezoregiony).





## Rozdział 5

# Wyniki

### 5.1 Analiza zmian na poziomie krajowym

Zmiany pokrycia terenu w latach 1990-2018 w Polsce objęły powierzchnię 25569,65 km<sup>2</sup>, co stanowi 7,9% całkowitej powierzchni kraju (Tabela 5.1). Największe zmiany pokrycia terenu w tym czasie dotyczyły wzrostu ilości terenów antropogenicznych. Tereny te zyskały 9028,04 km<sup>2</sup> powierzchni, co oznacza wzrost o 87,9%. Najdynamiczniej rozwinęły się tereny krzewiaste, które zwiększyły swoją powierzchnię o 159% względem początku analizowanego okresu. Największe straty odnotowano na terenach rolnych, ich powierzchnia w roku 2018 zmniejszyła się o 17589,78 km<sup>2</sup>. Pomimo największych strat spośród wszystkich analizowanych kategorii, powierzchnia terenów rolnych zmniejszyła się jedynie o 8,7%. Ilość terenów z rzadszą roślinnością zwiększyła się w najmniejszym stopniu i jednocześnie tereny te odnotowały najbardziej dynamiczną stratę powierzchni w analizowanym okresie. Tereny z rzadszą roślinnością odnotowały najmniejszy przyrost oraz łączną utratę 59,1% powierzchni, co stanowi najbardziej dynamiczną stratę powierzchni w stosunku do stanu z 1990 roku spośród analizowanych kategorii pokrycia terenu. Kategorią, która zmieniła się w najmniejszym stopniu były obszary wodne. Całkowita powierzchnia tych terenów wzrosła wyłącznie o 2,3%.

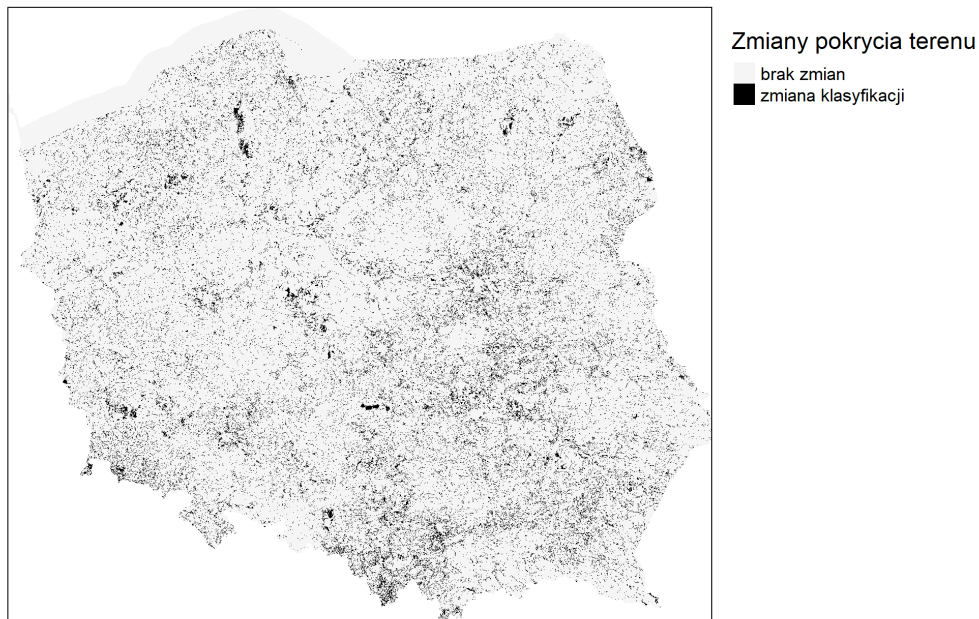
Lokalizacje, na których zaszły zmiany pokrycia terenu przedstawia rycina 5.1. Największą ilość zmian zauważyć można w południowej części kraju na obszarze całego

**Tablica 5.1:** *Zmiany pokrycia terenu w latach 1990-2018 na podstawie danych CORINE Land Cover*

Kategoria pokrycia terenu	Powierzchnia w 1990r. [km <sup>2</sup> ]	Powierzchnia w 2018r. [km <sup>2</sup> ]	Bilans zmian [km <sup>2</sup> ]	Ubytki [km <sup>2</sup> ]	Przyrosty [km <sup>2</sup> ]	Zmiana między latami [%]
tereny antropogeniczne	10264.88	19292.92	9028.04	751.05	9779.09	87.95
tereny rolne	201146.41	183556.63	-17589.78	19092.54	1502.76	-8.74
las	92258.75	97049.92	4791.17	3442.66	8233.83	5.19
tereny krzewiaste	2325.03	6022.75	3697.72	1647.61	5345.33	159.04
tereny z rzadszą roślinnością	358.01	146.44	-211.57	237.04	25.47	-59.10
obszary podmokłe	1176.88	1113.07	-63.81	297.71	233.90	-5.42
obszary wodne	15190.78	15539.01	348.23	101.04	449.27	2.29

województwa śląskiego oraz zachodniej części województwa małopolskiego. Dużą ilością zmian pokrycia terenu o rozproszonym charakterze cechują się także województwo mazowieckie, województwo świętokrzyskie, centralna część województwa podkarpackiego oraz zachodnia część województwa dolnośląskiego. Analizując mapę zauważyć można także obszary na których zaszły znaczne zmiany pokrycia terenu o charakterze skoncentrowanym.

1. Kopalnia Węgla Brunatnego Bełchatów i zwałowisko zewnętrzne Góra Kamieńska, będąca jego skutkiem. Lasy i tereny rolne zostały przekształcone w tereny antropogeniczne.
2. Kopalnia Węgla Brunatnego Konin Tereny rolne przekształcone w tereny antropogeniczne, powstanie sztucznego zbiornika wodnego.
3. Rezerwat przyrody Jeziorsko Obszary wodne powstałe z terenów podmokłych
4. Kopalnia Węgla Brunatnego Turów Tereny rolne przekształcone głównie w tereny antropogeniczne.
5. Ośrodek Szkolenia Poligonowego Wojsk Lądowych Żagań Różne przejścia między kategoriami, głównie zmiana terenów z rzadszą roślinnością w tereny krzewiaste oraz terenów krzewiastych w tereny zalesione.
6. Okolice Mazurskiego Parku Krajobrazowego Przemiana terenów krzewiastych w tereny leśne.
7. Bory Tucholskie Zmiana terenów leśnych w tereny krzewiaste, konsekwencje trąby powietrznej z 2012 roku, która zniszczyła 520 ha lasu.
8. Nadleśnictwo Rudy Raciborskie Pożar lasu w nadleśnictwie Rudy Raciborskie z 1992 roku. Pożar strawił 9062 ha lasów



**Rysunek 5.1:** *Binarna mapa zmian klasyfikacji dla lat 1990-2018*

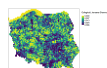
## 5.2 Analiza zmian regularnych obszarów 10 na 10 km

Największe zmiany na południu, południowym-zachodzie oraz centralnej części Polski. Najmniejsze zmiany na obszarze morza terytorialnego oraz na południu Polski na terenie Płaskowyżu Głubczyckiego.

Rycina 5.3 przedstawia obszar na którym zaszły największe zmiany między analizowanymi latami. Ponad połowa lasów na obszarze została zastąpiona terenami krzewiastymi. Zanik części obszarów podmokłych, także na rzecz obszarów krzewiastych. Niewielki rozrost terenów antropogenicznych oraz terenów rolnych.

**Może dorobić do tego plot z udziałem procentowym klas dla obu lat?  
Wtedy będzie można dokładniej opisać te najważniejsze zmiany**

Spośród sześciu regularnych obszarów 10 na 10 km o największych zmianach w czasie, najbardziej zauważalnym trendem wydaje się być zmiana obszarów leśnych na tereny krzewiaste. Kolejnym widocznym trendem jest przede wszystkim postępująca urbanizacja, t.j. rozrost terenów o charakterze antropogenicznym, co jest szczególnie widoczne na obszarze oznaczonym literą E. Interesującym przykładem jest obszar B. Na



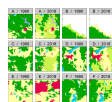
**Rysunek 5.2:** *Odległość Jensena-Shannona obliczona dla oczek siatki o wymiarach 10x10km*



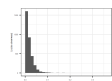
**Rysunek 5.3:** *Obszar z największymi zmianami w siatce 10x10km*

tym obszarze nastąpiła istotna przemiana terenów krzewiastych w tereny rolne, co jest pewnym przełamaniem głównego trendu widocznego na pozostałych pięciu obszarach.

Powyższy histogram pokazuje, że w znacznej większości regularnych krajobrazów lokalnych nie zaszły żadne zmiany, lub były one bardzo niewielkie.



**Rysunek 5.4:** 6 obszarów z największymi zmianami w siatce 10x10km



**Rysunek 5.5:** Histogram dla siatki 10x10km

### **5.3 Analiza zmian na poziomie powiatów**

### **5.4 Analiza zmian na poziomie mezoregionów**



## **Rozdział 6**

# **Podsumowanie**





# Bibliografia

Nowosad, J (2021). *motif: Local Pattern Analysis*. R package version 0.5.0. <https://nowosad.github.io/motif/>.

R Core Team (2020). *R: A Language and Environment for Statistical Computing*. R Foundation for Statistical Computing. Vienna, Austria. <https://www.R-project.org/>.

Tennekes, M (2021). *tmap: Thematic Maps*. R package version 3.3-2. <https://github.com/mtennekes/tmap>.

Wickham, H, W Chang, L Henry, TL Pedersen, K Takahashi, C Wilke, K Woo, H Yutani i D Dunnington (2021). *ggplot2: Create Elegant Data Visualisations Using the Grammar of Graphics*. R package version 3.3.5. <https://CRAN.R-project.org/package=ggplot2>.